

Podstawy Elektromagnetyzmu

Stanisław Pawłowski

Zakład Elektrodynamiki i Systemów Elektromaszynowych

Kontakt:

Budynek B pokój 301

Mail: spawlo@prz.edu.pl

Tel.: 17 865 1305

POLA HARMONICZNE

Definicja

Polem harmonicznym nazywamy pole sinusoidalnie zmienne w czasie, tzn. każda z jego składowych ma postać funkcji:

$$f(\vec{r}, t) = f_m(\vec{r}) \sin(\omega t + \varphi(\vec{r}))$$

faza

wektor wodzący punktu amplituda pulsacja faza początkowa

$\omega = 2\pi f = \text{const}$

$$\vec{r} = [x, \quad y, \quad z]$$

Pola harmoniczne w elektrodynamice

$$\rho(\vec{r}, t) = \rho_m(\vec{r}) \sin(\omega t + \varphi(\vec{r})) \quad - \text{gęstość ładunku}$$

$$\vec{J}(\vec{r}, t) = \vec{J}_m(\vec{r}) \sin(\omega t + \varphi(\vec{r})) \quad - \text{gęstość natężenia prądu}$$

$$\vec{E}(\vec{r}, t) = \vec{E}_m(\vec{r}) \sin(\omega t + \varphi(\vec{r})) \quad - \text{natężenie pola elektrycznego}$$

$$\vec{H}(\vec{r}, t) = \vec{H}_m(\vec{r}) \sin(\omega t + \varphi(\vec{r})) \quad - \text{natężenie pola magnetycznego}$$

$$\vec{D}(\vec{r}, t) = \vec{D}_m(\vec{r}) \sin(\omega t + \varphi(\vec{r})) \quad - \text{indukcja elektryczna}$$

$$\vec{B}(\vec{r}, t) = \vec{B}_m(\vec{r}) \sin(\omega t + \varphi(\vec{r})) \quad - \text{indukcja magnetyczna}$$

Pola zespolone

Każdej składowej pola harmonicznego przyporządkowujemy funkcję zespoloną:

$$\underline{f}(\vec{r}, t) = \underline{f}_m(\vec{r}) e^{j\omega t}$$

gdzie: $\underline{f}_m(\vec{r}) = f_m(\vec{r}) e^{j\varphi(\vec{r})}$



amplituda zespolona

czyli: $f_m(\vec{r}) = \left| \underline{f}_m(\vec{r}) \right|, \quad \varphi(\vec{r}) = \arg(\underline{f}_m(\vec{r}))$

Związek $\underline{f}(\vec{r}, t)$ z $f(\vec{r}, t)$

$$\begin{aligned}\underline{f}_m(\vec{r}, t) &= f_m(\vec{r}) e^{j\varphi(\vec{r})} e^{j\omega t} = f_m(\vec{r}) e^{j(\omega t + \varphi(\vec{r}))} = \\ &= f_m(\vec{r}) (\cos(\omega t + \varphi(\vec{r})) + j \sin(\omega t + \varphi(\vec{r}))) = \\ &= f_m(\vec{r}) \cos(\omega t + \varphi(\vec{r})) + j f_m(\vec{r}) \sin(\omega t + \varphi(\vec{r}))\end{aligned}$$

Wnioski:

1. $f(\vec{r}, t) = \text{Im}(\underline{f}(\vec{r}, t))$
2. Do pełnego określenia rzeczywistej funkcji pola $f(\vec{r}, t)$ wystarcza znajomość samej amplitudy zespolonej $\underline{f}_m(\vec{r})$

Pola zespolone w elektrodynamice

$$\underline{\rho}(\vec{r}, t) = \underline{\rho}_m(\vec{r}) e^{j\omega t}$$

- gęstość ładunku

$$\underline{\vec{J}}(\vec{r}, t) = \underline{\vec{J}}_m(\vec{r}) e^{j\omega t}$$

- gęstość natężenia prądu

$$\underline{\vec{E}}(\vec{r}, t) = \underline{\vec{E}}_m(\vec{r}) e^{j\omega t}$$

- natężenie pola elektrycznego

$$\underline{\vec{H}}(\vec{r}, t) = \underline{\vec{H}}_m(\vec{r}) e^{j\omega t}$$

- natężenie pola magnetycznego

$$\underline{\vec{D}}(\vec{r}, t) = \underline{\vec{D}}_m(\vec{r}) e^{j\omega t}$$

- indukcja elektryczna

$$\underline{\vec{B}}(\vec{r}, t) = \underline{\vec{B}}_m(\vec{r}) e^{j\omega t}$$

- indukcja magnetyczna

Równania Maxwella w postaci zespolonej

Wyprowadzenie

Prawo Ampère'a – Maxwella w postaci rzeczywistej: $\vec{\text{rot}}\vec{H} = \vec{J} + \frac{\partial \vec{D}}{\partial t}$

Postulujemy aby: $\vec{\text{rot}}\underline{\vec{H}} = \underline{\vec{J}} + \frac{\partial \underline{\vec{D}}}{\partial t}$

Zatem: $\vec{\text{rot}}(\underline{\vec{H}}_m(\vec{r})e^{j\omega t}) = \underline{\vec{J}}_m(\vec{r})e^{j\omega t} + \frac{\partial}{\partial t}(\underline{\vec{D}}_m(\vec{r})e^{j\omega t})$

Stąd: $\vec{\text{rot}}(\underline{\vec{H}}_m(\vec{r}))e^{j\omega t} = \underline{\vec{J}}_m(\vec{r})e^{j\omega t} + j\omega \underline{\vec{D}}_m(\vec{r})e^{j\omega t}$

i ostatecznie: $\vec{\text{rot}}\underline{\vec{H}}_m = \underline{\vec{J}}_m + j\omega \underline{\vec{D}}_m$

Analogicznie dla pozostałych równań Maxwella.

Równania Maxwella w postaci zespolonej

Prawo	Postać całkowa	Postać różniczkowa
Ampère'a - Maxwella	$\oint_L \vec{H}_m \cdot d\vec{l} = \underline{I}_m + j\omega \iint_S \vec{D}_m \cdot d\vec{s}$	$\text{rot} \vec{H}_m = \vec{J}_m + j\omega \vec{D}_m$
Faradaya	$\oint_L \vec{E}_m \cdot d\vec{l} = -j\omega \iint_S \vec{B}_m \cdot d\vec{s}$	$\text{rot} \vec{E}_m = -j\omega \vec{B}_m$
Gausa dla pola magnetycznego	$\oiint_S \vec{B}_m \cdot d\vec{s} = 0$	$\text{div} \vec{B}_m = 0$
Gausa dla pola elektrycznego	$\oiint_S \vec{D}_m \cdot d\vec{s} = \underline{Q}_m$	$\text{div} \vec{D}_m = \underline{\rho}_m$

Równania konstytutywne (materiałowe)

$$\underline{\underline{D}}_m = \underline{\underline{\hat{\epsilon}}}\underline{\underline{E}}_m \quad \underline{\underline{B}}_m = \underline{\underline{\hat{\mu}}}\underline{\underline{H}}_m \quad \underline{\underline{J}}_m = \underline{\underline{\hat{\gamma}}}\underline{\underline{E}}_m$$

Na ogół (w ośrodkach anizotropowych):

$$\underline{\underline{\hat{\epsilon}}} = \begin{bmatrix} \underline{\underline{\epsilon}}_{11} & \underline{\underline{\epsilon}}_{12} & \underline{\underline{\epsilon}}_{13} \\ \underline{\underline{\epsilon}}_{21} & \underline{\underline{\epsilon}}_{22} & \underline{\underline{\epsilon}}_{23} \\ \underline{\underline{\epsilon}}_{31} & \underline{\underline{\epsilon}}_{32} & \underline{\underline{\epsilon}}_{33} \end{bmatrix} \quad \underline{\underline{\hat{\mu}}} = \begin{bmatrix} \underline{\underline{\mu}}_{11} & \underline{\underline{\mu}}_{12} & \underline{\underline{\mu}}_{13} \\ \underline{\underline{\mu}}_{21} & \underline{\underline{\mu}}_{22} & \underline{\underline{\mu}}_{23} \\ \underline{\underline{\mu}}_{31} & \underline{\underline{\mu}}_{32} & \underline{\underline{\mu}}_{33} \end{bmatrix} \quad \underline{\underline{\hat{\gamma}}} = \begin{bmatrix} \underline{\underline{\gamma}}_{11} & \underline{\underline{\gamma}}_{12} & \underline{\underline{\gamma}}_{13} \\ \underline{\underline{\gamma}}_{21} & \underline{\underline{\gamma}}_{22} & \underline{\underline{\gamma}}_{23} \\ \underline{\underline{\gamma}}_{31} & \underline{\underline{\gamma}}_{32} & \underline{\underline{\mu}}_{33} \end{bmatrix}$$

W ośrodkach jednorodnych, izotropowych i liniowych parametry materiałowe są wielkościami stałymi.

Uwaga: Zespolone wartości parametrów materiałowych pozwalają uwzględnić ewentualne przesunięcia fazowe między wektorami pola elektromagnetycznego

Potencjały zespolone

Potencjały elektrodynamiczne \mathbf{A} , V

$$\mathbf{B} = \text{rot}\mathbf{A} \quad \mathbf{E} = -\frac{\partial\mathbf{A}}{\partial t} - \text{grad}V$$

Potencjały zespolone

$$\underline{\mathbf{A}}(\mathbf{r}, t) = \underline{\mathbf{A}}_m(\mathbf{r}) e^{j\omega t} \quad \underline{V}(\mathbf{r}, t) = \underline{V}_m(\mathbf{r}) e^{j\omega t}$$

Zatem:

$$\underline{\mathbf{B}}_m = \text{rot}\underline{\mathbf{A}}_m \quad \underline{\mathbf{E}}_m = -j\omega\underline{\mathbf{A}}_m - \text{grad}\underline{V}_m$$

Równania dla potencjałów zespolonych

Założenie: $\varepsilon, \mu, \gamma = \text{const}$

Z prawa Ampèra – Maxwella $\text{rot}\underline{\mathbf{H}}_m = \underline{\mathbf{J}}_m + j\omega\underline{\mathbf{D}}_m$ mamy:

$$\text{rot}\underline{\mathbf{B}}_m = \underline{\mu}\underline{\mathbf{J}}_m + j\omega\underline{\mu}\varepsilon\underline{\mathbf{E}}_m$$

$$\text{rot}(\text{rot}\underline{\mathbf{A}}_m) = \underline{\mu}\underline{\mathbf{J}}_m + j\omega\underline{\mu}\varepsilon(-j\omega\underline{\mathbf{A}}_m - \text{grad}V_m)$$

$$\text{grad}(\text{div}\underline{\mathbf{A}}_m) - \Delta\underline{\mathbf{A}}_m = \underline{\mu}\underline{\mathbf{J}}_m + \omega^2\underline{\mu}\varepsilon\underline{\mathbf{A}}_m - j\omega\underline{\mu}\varepsilon \text{grad}V_m$$

Korzystając ze swobody cechowania zakładamy:

$$\text{div}\underline{\mathbf{A}}_m = -j\omega\underline{\mu}\varepsilon V_m$$

(warunek Lorenza dla pól zespolonych)

i stąd ostatecznie:

$$\Delta\underline{\mathbf{A}}_m + \omega^2\underline{\mu}\varepsilon\underline{\mathbf{A}}_m = -\underline{\mu}\underline{\mathbf{J}}_m$$



równanie falowe dla zespolonego potencjału wektorowego

Równania dla potencjałów zespolonych

Założenie: $\varepsilon, \mu, \gamma = \text{const}$

Z prawa Gaussa $\text{div } \underline{\mathbf{D}} = \underline{\rho}$ mamy:

$$\text{div } \underline{\mathbf{E}} = \frac{1}{\varepsilon} \underline{\rho} \qquad \text{div}(-j\omega \underline{\mathbf{A}}_m - \mathbf{grad } V_m) = \frac{1}{\varepsilon} \underline{\rho}$$

Korzystając z tożsamości $\text{div } \mathbf{grad } V_m = \Delta V_m$

oraz cechowania Lorenza $\text{div } \underline{\mathbf{A}}_m = -j\omega\mu\varepsilon V_m$

otrzymujemy ostatecznie $\Delta V_m + \omega^2 \mu\varepsilon V_m = -\frac{1}{\varepsilon} \underline{\rho}_m$

Uwaga: po rozwiązaniu równania dla $\underline{\mathbf{A}}$ (poprzedni slajd) potencjał V można obliczyć bezpośrednio z warunku cechowania Lorentza

Pola quasi-stacjonarne (wolnozmiennie)

Definicja

- Harmoniczne pole elektromagnetyczne w danym obszarze nazywamy quasi-stacjonarnym (wolnozmiennym) gdy najmniejszy rozmiar tego obszaru l jest znacznie mniejszy od długości λ fali elektromagnetycznej charakterystycznej dla częstotliwości f pola.

Ponieważ $\lambda = c/f$, warunek ten oznacza, że $l \ll c/f$ ($c \approx 3 \cdot 10^8$ m/s).

Uwagi

- Dla pól quasi-stacjonarnych prądy przesunięcia Maxwella i efekty falowe w obszarach dielektrycznych są zanedbywalne.
- W dobrych przewodnikach (metalach) prądy przesunięcia Maxwella są zawsze znikomo małe w porównaniu do prądów omowych

Wniosek

- Dla pól o częstotliwości 50 Hz długość fali w powietrzu wynosi ok. 6000 km. Oznacza to, że pola układów elektromaszynowych można praktycznie zawsze traktować jako quasi-stacjonarne i w ich analizie pomijać prądy przesunięcia.

Równania Maxwella dla pól quasi-stacjonarnych

Prawo	Postać całkowa	Postać różniczkowa
Ampère'a - Maxwella	$\oint_L \underline{\mathbf{H}}_m \cdot d\mathbf{l} = I_m$	$\text{rot} \underline{\mathbf{H}}_m = \underline{\mathbf{J}}_m$
Faradaya	$\oint_L \underline{\mathbf{E}}_m \cdot d\mathbf{l} = -j\omega \iint_S \underline{\mathbf{B}}_m \cdot d\mathbf{s}$	$\text{rot} \underline{\mathbf{E}}_m = -j\omega \underline{\mathbf{B}}_m$
Gaussa dla pola magnetycznego	$\oiint_S \underline{\mathbf{B}}_m \cdot d\mathbf{s} = 0$	$\text{div} \underline{\mathbf{B}}_m = 0$
Gaussa dla pola elektrycznego	$\oiint_S \underline{\mathbf{D}}_m \cdot d\mathbf{s} = Q_m$	$\text{div} \underline{\mathbf{D}}_m = \underline{\rho}_m$

Równania dla potencjałów w polach quasi-stacjonarnych

Założenia: $\varepsilon, \mu, \gamma = \text{const}$ oraz dodatkowo $\rho = 0$

Z prawa Ampère'a $\text{rot} \underline{\mathbf{H}}_m = \underline{\mathbf{J}}_m$ mamy: $\text{rot} \text{rot} \underline{\mathbf{A}}_m = \mu \underline{\mathbf{J}}_m$ i stąd:

$$\text{grad}(\text{div} \underline{\mathbf{A}}_m) - \Delta \underline{\mathbf{A}}_m = \mu \underline{\mathbf{J}}_m$$

Korzystając ze swobody cechowania przyjmujemy $\text{div} \underline{\mathbf{A}}_m = 0$ (warunek Coulomba), oraz $V = 0$, zatem:

$$\Delta \underline{\mathbf{A}}_m = -\mu \underline{\mathbf{J}}_m$$

W obszarach przewodzących $\underline{\mathbf{J}}_m = \gamma \underline{\mathbf{E}}_m$ a ponieważ $\underline{\mathbf{E}}_m = -j\omega \underline{\mathbf{A}}_m$ otrzymujemy ostatecznie:

$$\Delta \underline{\mathbf{A}}_m = \alpha^2 \underline{\mathbf{A}}_m \quad - \text{równanie Helmholtza}$$

gdzie: $\alpha^2 = j\omega\gamma\mu$ - stała propagacji przewodnika

W obszarach dielektrycznych: $\Delta \underline{\mathbf{A}}_m = 0$ (równanie Laplace'a)

Harmoniczne pole elektromagnetyczne w ośrodkach dielektrycznych

- Założenia
- Równania pola
- Rozwiązanie
- Interpretacja
- Uogólnienie
- Wnioski

Założenia

1. Ośrodek dielektryczny jednorodny, izotropowy i liniowy:

$$\gamma = 0, \quad \varepsilon, \mu = \text{const}$$

2. Brak źródeł:

$$\rho = 0, \quad \mathbf{J} = 0$$

3. Pole harmoniczne o pulsacji ω

4. Pole zależne tylko od jednej zmiennej kartezjańskiej z

$$\underline{\mathbf{E}}_m(x, y, z) = \underline{\mathbf{E}}_m(z)$$

$$\underline{\mathbf{B}}_m(x, y, z) = \underline{\mathbf{B}}_m(z)$$

Równania pola

Zespolone równania Maxwella

$$\mathbf{rot} \underline{\mathbf{H}}_m = j\omega \underline{\mathbf{D}}_m$$

$$\mathbf{rot} \underline{\mathbf{E}}_m = -j\omega \underline{\mathbf{B}}_m$$

$$\mathbf{div} \underline{\mathbf{B}}_m = 0$$

$$\mathbf{div} \underline{\mathbf{D}}_m = 0$$

Uwzględniając równania materiałowe

$$\underline{\mathbf{B}}_m = \mu \underline{\mathbf{H}}_m$$

$$\underline{\mathbf{D}}_m = \varepsilon \underline{\mathbf{E}}_m$$

mamy:

$$\mathbf{rot} \underline{\mathbf{B}}_m = j\omega \mu \varepsilon \underline{\mathbf{E}}_m$$

$$\mathbf{rot} \underline{\mathbf{E}}_m = -j\omega \underline{\mathbf{B}}_m$$

$$\mathbf{div} \underline{\mathbf{B}}_m = 0$$

$$\mathbf{div} \underline{\mathbf{E}}_m = 0$$

Rozwiązanie

Uwaga

Dla uproszczenia zapisów, w symbolach amplitud zespolonych będziemy dalej opuszczać podkreślenie oraz indeks „ m ” (np.: $\mathbf{E} \equiv \underline{\mathbf{E}}_m$ itp.).

Z prawa Gaussa dla pola elektrycznego mamy:

$$\operatorname{div} \mathbf{E} = 0 \Rightarrow \frac{\partial E_x}{\partial x} + \frac{\partial E_y}{\partial y} + \frac{\partial E_z}{\partial z} = \frac{\partial E_z}{\partial z} = 0 \Rightarrow E_z = \text{const}$$

Przyjmujemy $E_z = 0$, oraz dodatkowo $E_y = 0$, czyli:

$$\mathbf{E} = [E_x(z), \quad 0 \quad 0]$$

Rozwiązanie

Z prawa Faradaya: $\mathbf{rot}\mathbf{E} = -j\omega\mathbf{B} \Rightarrow \mathbf{B} = \frac{j}{\omega}\mathbf{rot}\mathbf{E}$

$$\mathbf{rot}\mathbf{E} = \begin{vmatrix} \mathbf{i} & \mathbf{j} & \mathbf{k} \\ \frac{\partial}{\partial x} & \frac{\partial}{\partial y} & \frac{\partial}{\partial z} \\ E_x(z) & 0 & 0 \end{vmatrix} = \left[0, \frac{\partial E_x}{\partial z}, 0 \right]$$

Zatem: $\mathbf{B} = \left[0, B_y(z), 0 \right]$

gdzie: $B_y(z) = -\frac{1}{j\omega} \frac{\partial E_x}{\partial z}$

Zauważmy, że $\mathbf{div}\mathbf{B} = 0$

Rozwiązanie

Z prawa Ampere-Maxwella: $\mathbf{rot}\mathbf{B} = j\omega\mu\varepsilon \mathbf{E}$

$$\mathbf{rot}\mathbf{B} = \begin{vmatrix} \mathbf{i} & \mathbf{j} & \mathbf{k} \\ \frac{\partial}{\partial x} & \frac{\partial}{\partial y} & \frac{\partial}{\partial z} \\ 0 & B_y(z) & 0 \end{vmatrix} = \left[-\frac{\partial B_y}{\partial z}, 0, 0 \right]$$

Zatem: $-\frac{\partial B_y}{\partial z} = j\omega\mu\varepsilon E_x$, a ponieważ $B_y(z) = -\frac{1}{j\omega} \frac{\partial E_x}{\partial z}$, więc

$$\frac{\partial^2 E_x}{\partial z^2} = -k^2 E_x, \text{ gdzie } k = \omega/c \text{ (liczba falowa), } c = 1/\sqrt{\mu\varepsilon}$$

Stąd: $E_x = E_m^+ e^{-jkz} + E_m^- e^{jkz}$

Rozwiązanie

$$B_y(z) = -\frac{1}{j\omega} \frac{\partial E_x}{\partial z} = \frac{k}{\omega} \left(E_m^+ e^{-jkz} - E_m^- e^{jkz} \right) = \frac{1}{c} \left(E_m^+ e^{-jkz} - E_m^- e^{jkz} \right)$$

czyli: $B_y = B_m^+ e^{-jkz} + B_m^- e^{jkz}$, gdzie $B_m^+ = \frac{1}{c} E_m^+$ $B_m^- = -\frac{1}{c} E_m^-$

Zatem: $\frac{E_m^+}{B_m^+} = -\frac{E_m^-}{B_m^-} = c$

Impedancja falowa dielektryka:

$$Z = \frac{E_m^+}{H_m^+} = -\frac{E_m^-}{H_m^-} = \mu c = \mu \sqrt{\frac{1}{\mu \epsilon}} = \sqrt{\frac{\mu}{\epsilon}}$$

Dla próżni (powietrza): $Z_0 = 377\Omega$

Rozwiązanie

Rozwiązanie dla amplitud zespolonych

Pole elektryczne

$$\mathbf{E} = [E_x(z), 0 \ 0]$$

$$E_x = E_m^+ e^{-jkz} + E_m^- e^{jkz}$$

Pole magnetyczne

$$\mathbf{B} = [0, B_y(z) \ 0]$$

$$B_y = B_m^+ e^{-jkz} + B_m^- e^{jkz}$$

gdzie

$$k = \omega / c \quad c = 1 / \sqrt{\mu \varepsilon}$$

$$\frac{E_m^+}{B_m^+} = -\frac{E_m^-}{B_m^-} = c$$

Rozwiązanie

Sprawdzenie do postaci rzeczywistej

$$\begin{aligned} E_x(x, t) &= \text{Im}\left(\left(E_m^+ e^{-jkz} + E_m^- e^{jkz}\right) e^{j\omega t}\right) = \text{Im}\left(E_m^+ e^{j(\omega t - kz)} + E_m^- e^{j(\omega t + kz)}\right) = \\ &= \text{Im}\left(E_m^+ (\cos(\omega t - kz) + j \sin(\omega t - kz)) + E_m^- (\cos(\omega t + kz) + j \sin(\omega t + kz))\right) \\ &= E_m^+ \sin(\omega t - kz) + E_m^- \sin(\omega t + kz) \end{aligned}$$

Analogicznie

$$B_y(z, t) = B_m^+ \sin(\omega t - kz) + B_m^- \sin(\omega t + kz)$$

Interpretacja

Płaska fala monochromatyczna liniowo spolaryzowana

$$E_x(x, t) = E_m^+ \sin(\omega t - kz) + E_m^- \sin(\omega t + kz)$$

↑
fala biegnąca
w kierunku osi OZ

↑
fala biegnąca przeciwnie
do osi OZ

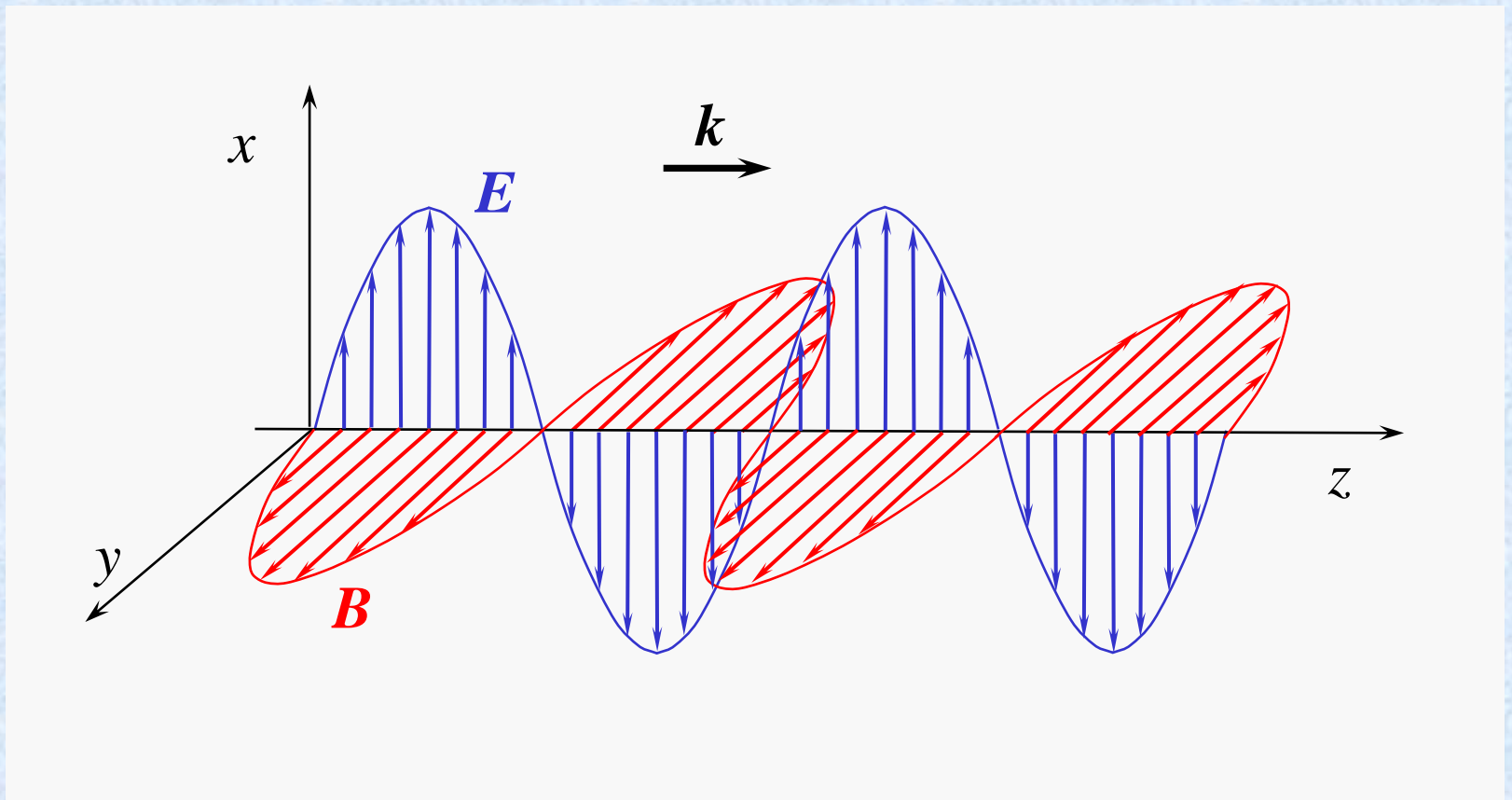
$$B_y(z, t) = B_m^+ \sin(\omega t - kz) + B_m^- \sin(\omega t + kz)$$

Długość fali $\lambda = \frac{2\pi}{k}$

Prędkość fali $v = \frac{\lambda}{T} = \frac{2\pi}{k} \frac{\omega}{2\pi} = \frac{\omega}{k} = c = \frac{1}{\sqrt{\mu\varepsilon}}$

Interpretacja

Płaska fala monochromatyczna liniowo spolaryzowana



Uogólnienie

Płaska fala monochromatyczna liniowo spolaryzowana biegnąca w kierunku wektora \mathbf{k}

$$\mathbf{E}(x, t) = \mathbf{E}_m \sin(\omega t - \mathbf{k} \cdot \mathbf{r}) \quad \mathbf{B}(x, t) = \mathbf{B}_m \sin(\omega t - \mathbf{k} \cdot \mathbf{r})$$

$$\mathbf{E} \perp \mathbf{k}, \quad \mathbf{B} \perp \mathbf{k}, \quad \mathbf{E} \perp \mathbf{B}$$

\mathbf{k} – wektor falowy, $|\mathbf{k}| = 2\pi/\lambda$, $\mathbf{r} = [x, y, z]$

$$\mathbf{E}_m = [E_{mx}, E_{my}, E_{mz}] \quad \mathbf{B}_m = [B_{mx}, B_{my}, B_{mz}]$$

$$\frac{E_m}{B_m} = c$$

Wnioski

- Wektory \mathbf{E} i \mathbf{B} są prostopadłe do kierunku rozchodzenia się fali (fala elektromagnetyczna jest falą poprzeczną)
- Wektory \mathbf{E} i \mathbf{B} są wzajemnie prostopadłe i mają tę samą fazę
- Prędkość fali elektromagnetycznej w dielektryku zależy tylko od jego przenikalności elektrycznej i magnetycznej: $c = 1/\sqrt{\mu\varepsilon}$
- Stosunek amplitud wektorów \mathbf{E} i \mathbf{B} w polu płaskiej fali elektromagnetycznej równy jest jej prędkości

Harmoniczne pole elektromagnetyczne w ośrodkach przewodzących

- Założenia
- Równania pola
- Rozwiązanie
- Interpretacja (zjawisko naskórkowości)
- Padanie fali płaskiej na półprzeźroczystość przewodzącą

Założenia

1. Ośrodek przewodzący jednorodny, izotropowy i liniowy:

$$\gamma, \varepsilon, \mu = \text{const}$$

2. Brak niezrównoważonych ładunków: $\rho = 0$

3. Pole harmoniczne o pulsacji ω

4. Pole zależne tylko od jednej zmiennej kartezjańskiej z

$$\underline{\mathbf{E}}_m(\mathbf{r}) = \underline{\mathbf{E}}_m(z)$$

$$\underline{\mathbf{B}}_m(\mathbf{r}) = \underline{\mathbf{B}}_m(z)$$

Równania pola

Zespolone równania Maxwella

$$\mathbf{rot}\mathbf{H} = \mathbf{J}$$

$$\mathbf{rot}\mathbf{E} = -j\omega\mathbf{B}$$

$$\mathbf{div}\mathbf{B} = 0$$

$$\mathbf{div}\mathbf{D} = 0$$

Uwzględniając równania materiałowe

$$\mathbf{B} = \mu\mathbf{H}$$

$$\mathbf{J} = \gamma\mathbf{E}$$

$$\mathbf{D} = \varepsilon\mathbf{E}$$

mamy:

$$\mathbf{rot}\mathbf{H} = \gamma\mathbf{E}$$

$$\mathbf{rot}\mathbf{E} = -j\omega\mu\mathbf{H}$$

$$\mathbf{div}\mathbf{H} = 0$$

$$\mathbf{div}\mathbf{E} = 0$$

Rozwiązanie

Z prawa Gaussa dla pola elektrycznego mamy:

$$\operatorname{div} \mathbf{E} = 0 \Rightarrow \frac{\partial E_x}{\partial x} + \frac{\partial E_y}{\partial y} + \frac{\partial E_z}{\partial z} = \frac{\partial E_z}{\partial z} = 0 \Rightarrow E_z = \text{const}$$

Przyjmujemy $E_z = 0$, oraz dodatkowo $E_y = 0$, czyli:

$$\mathbf{E} = [E_x(z), 0 \quad 0]$$

Rozwiązanie

Z prawa Faradaya: $\mathbf{rot}\mathbf{E} = -j\omega\mu\mathbf{H} \Rightarrow \mathbf{H} = -\frac{1}{j\omega\mu}\mathbf{rot}\mathbf{E}$

$$\mathbf{rot}\mathbf{E} = \begin{vmatrix} \mathbf{i} & \mathbf{j} & \mathbf{k} \\ \frac{\partial}{\partial x} & \frac{\partial}{\partial y} & \frac{\partial}{\partial z} \\ E_x(z) & 0 & 0 \end{vmatrix} = \left[0, \frac{\partial E_x}{\partial z}, 0 \right]$$

Zatem: $\mathbf{H} = \left[0, H_y(z), 0 \right]$

gdzie: $H_y(z) = -\frac{1}{j\omega\mu} \frac{\partial E_x}{\partial z}$

Zauważmy, że $\mathbf{div}\mathbf{H} = 0$

Rozwiązanie

Z prawa Ampera: $\mathbf{rotH} = \gamma \mathbf{E}$

$$\mathbf{rotH} = \begin{vmatrix} \mathbf{i} & \mathbf{j} & \mathbf{k} \\ \frac{\partial}{\partial x} & \frac{\partial}{\partial y} & \frac{\partial}{\partial z} \\ 0 & H_y(z) & 0 \end{vmatrix} = \left[-\frac{\partial H_y}{\partial z}, 0, 0 \right]$$

Zatem: $-\frac{\partial H_y}{\partial z} = \gamma E_x$, a ponieważ $H_y(z) = -\frac{1}{j\omega\mu} \frac{\partial E_x}{\partial z}$, więc

$$\frac{\partial^2 E_x}{\partial z^2} = -j\omega\gamma\mu E_x$$

Stąd: $E_x = E_m^+ e^{-\alpha z} + E_m^- e^{\alpha z}$, gdzie $\alpha = \sqrt{j\omega\gamma\mu}$

Rozwiązanie

oraz:
$$H_y(z) = -\frac{1}{j\omega\mu} \frac{\partial E_x}{\partial z} = \frac{\alpha}{j\omega\mu} \left(E_m^+ e^{-\alpha z} - E_m^- e^{\alpha z} \right) =$$

$$\frac{\sqrt{j\omega\gamma\mu}}{j\omega\mu} \left(E_m^+ e^{-\alpha z} - E_m^- e^{\alpha z} \right) = \sqrt{\frac{\gamma}{j\omega\mu}} \left(E_m^+ e^{-\alpha z} - E_m^- e^{\alpha z} \right)$$

zatem:
$$H_y(z) = H_m^+ e^{-\alpha z} - H_m^- e^{\alpha z}$$

gdzie:
$$H_m^+ = \sqrt{\frac{\gamma}{j\omega\mu}} E_m^+ \quad H_m^- = \sqrt{\frac{\gamma}{j\omega\mu}} E_m^-$$

Impedancja falowa przewodnika:
$$Z = \frac{E_m^+}{H_m^+} = \frac{E_m^-}{H_m^-} = \sqrt{\frac{j\omega\mu}{\gamma}}$$

Rozwiązanie

Rozwiązanie dla amplitud zespolonych

Pole elektryczne

$$\mathbf{E} = [E_x(z), \quad 0 \quad 0]$$

$$E_x = E_m^+ e^{-\alpha z} + E_m^- e^{\alpha z}$$

gdzie

$$\alpha = \sqrt{j\omega\gamma\mu} = (1+j)k$$

$$k = \sqrt{\frac{\omega\gamma\mu}{2}}$$

Pole magnetyczne

$$\mathbf{H} = [0, \quad H_y(z), \quad 0]$$

$$H_y = H_m^+ e^{-\alpha z} + H_m^- e^{\alpha z}$$

$$\frac{E_m^+}{H_m^+} = \frac{E_m^-}{H_m^-} = \sqrt{\frac{j\omega\mu}{\gamma}} \equiv Z$$

Rozwiązanie

Srowadzenie do postaci rzeczywistej

$$\begin{aligned} E_x^+(x, t) &= \text{Im}\left(E_m^+ e^{-\alpha z} e^{j\omega t}\right) = \text{Im}\left(E_m^+ e^{-(1+j)kz} e^{j\omega t}\right) = \text{Im}\left(E_m^+ e^{-kz} e^{j(\omega t - kz)}\right) \\ &= \text{Im}\left(E_m^+ e^{-kz} (\cos(\omega t - kz) + j\sin(\omega t - kz))\right) = \\ &= E_m^+ e^{-kz} \sin(\omega t - kz) \end{aligned}$$

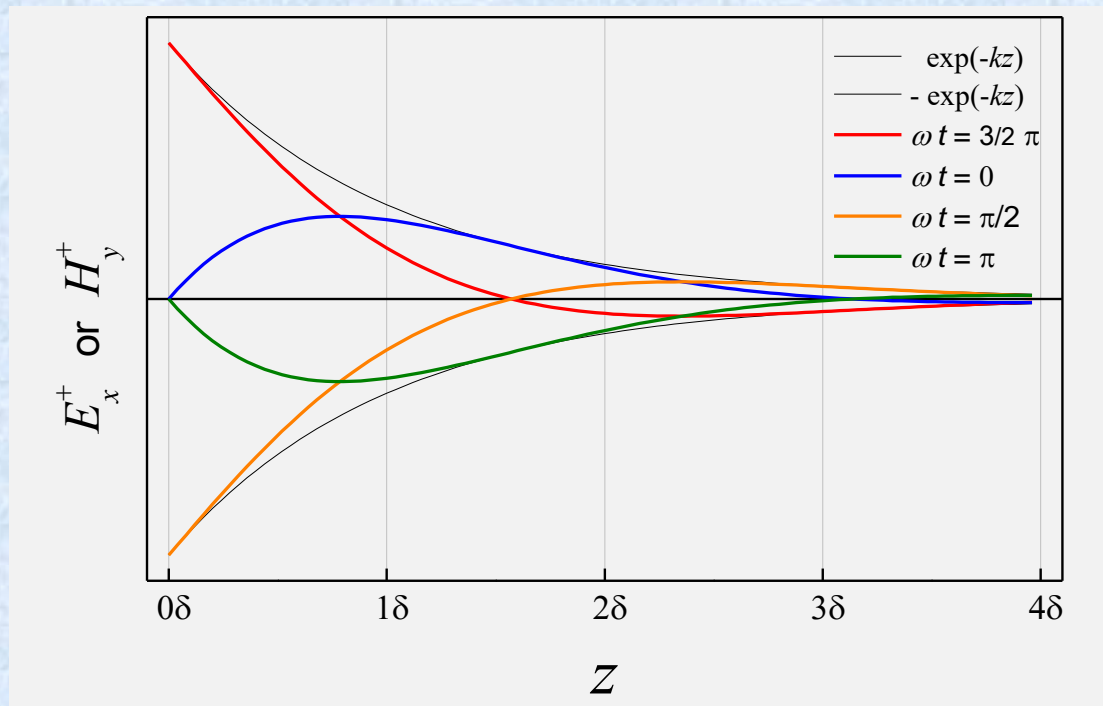
Analogicznie: $E_x^-(z, t) = E_m^- e^{kz} \sin(\omega t + kz)$

oraz: $H_y^+(z, t) = H_m^+ e^{-kz} \sin(\omega t - kz)$

$$H_y^-(z, t) = H_m^- e^{kz} \sin(\omega t + kz)$$

Interpretacja

Fala tłumiona (zjawisko naskórkowości)



Dla Cu przy częstotliwości 50 Hz:

$$\lambda = 59 \text{ mm}, \delta = 9,4 \text{ mm}, v = 2,95 \text{ m/s}$$

Długość fali:

$$\lambda = \frac{2\pi}{k} = 2\pi\delta$$

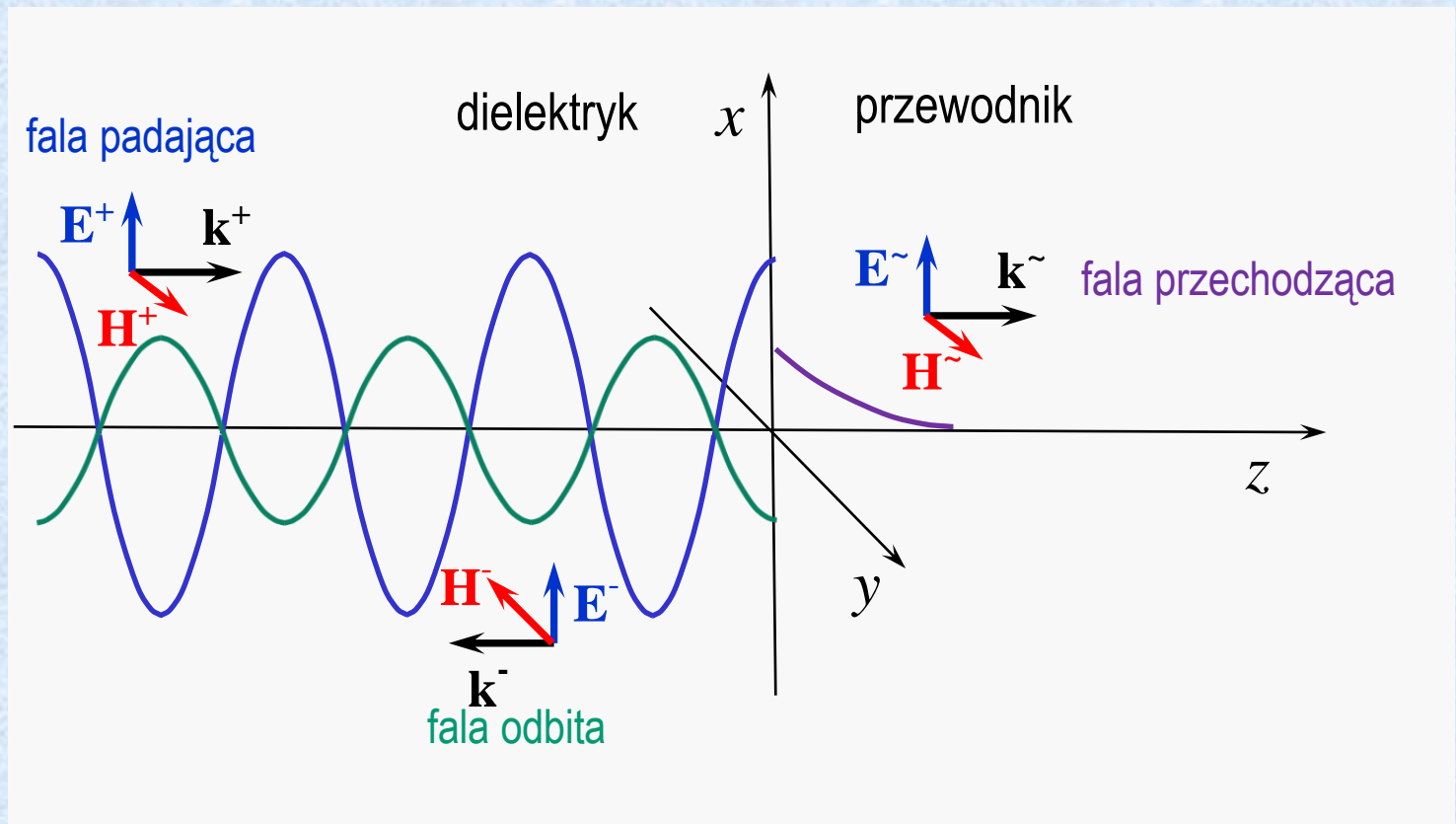
Zastępcza głębokość
wnikania pola:

$$\delta = \frac{1}{k} = \sqrt{\frac{2}{\omega\gamma\mu}}$$

Prędkość fali:

$$v = \frac{\lambda}{T} = \frac{\omega}{k} = \sqrt{\frac{2\omega}{\gamma\mu}}$$

Padanie fali płaskiej na półprzestrzeń przewodzącą



Padanie fali płaskiej na półprzestrzeń przewodzącą

Rozwiązania ogólne

$$\mathbf{E} = [E_x(z), 0 \ 0] \quad \mathbf{H} = [0, H_y(z) \ 0]$$

W dielektryku ($z < 0$)

$$E_x(z) = E_m^+ e^{-jkz} + E_m^- e^{jkz}$$

$$H_x(z) = H_m^+ e^{-jkz} + H_m^- e^{jkz}$$

$$E_m^+ = Z_d H_m^+ \quad E_m^- = -Z_d H_m^-$$

$$Z_d = \sqrt{\frac{\mu_d}{\varepsilon_d}}$$

W przewodniku ($z > 0$)

$$E_x^{\sim}(z) = E_m^{\sim} e^{-\alpha z}$$

$$H_y^{\sim}(z) = H_m^{\sim} e^{-\alpha z}$$

$$E_m^{\sim} = Z_c H_m^{\sim}$$

$$Z_c = \sqrt{\frac{j\omega\mu_c}{\gamma_c}}$$

Padanie fali płaskiej na półprzestrzeń przewodzącą

Warunki brzegowe ($z = 0$)

$$E_x(0) = E_x^{\sim}(0)$$

$$H_x(0) = H_x^{\sim}(0)$$

$$E_m^+ + E_m^- = E_m^{\sim}$$

$$H_m^+ + H_m^- = H_m^{\sim}$$

$$\begin{cases} H_m^{\sim} - H_m^- = H_m^+ \\ Z_c H_m^{\sim} + Z_d H_m^- = Z_d H_m^+ \end{cases}$$

Rozwiązanie

$$H_m^- = -RH_m^+$$

$$E_m^- = RE_m^+$$

$$H_m^{\sim} = (1 - R)H_m^+$$

$$E_m^{\sim} = (1 + R)E_m^+$$

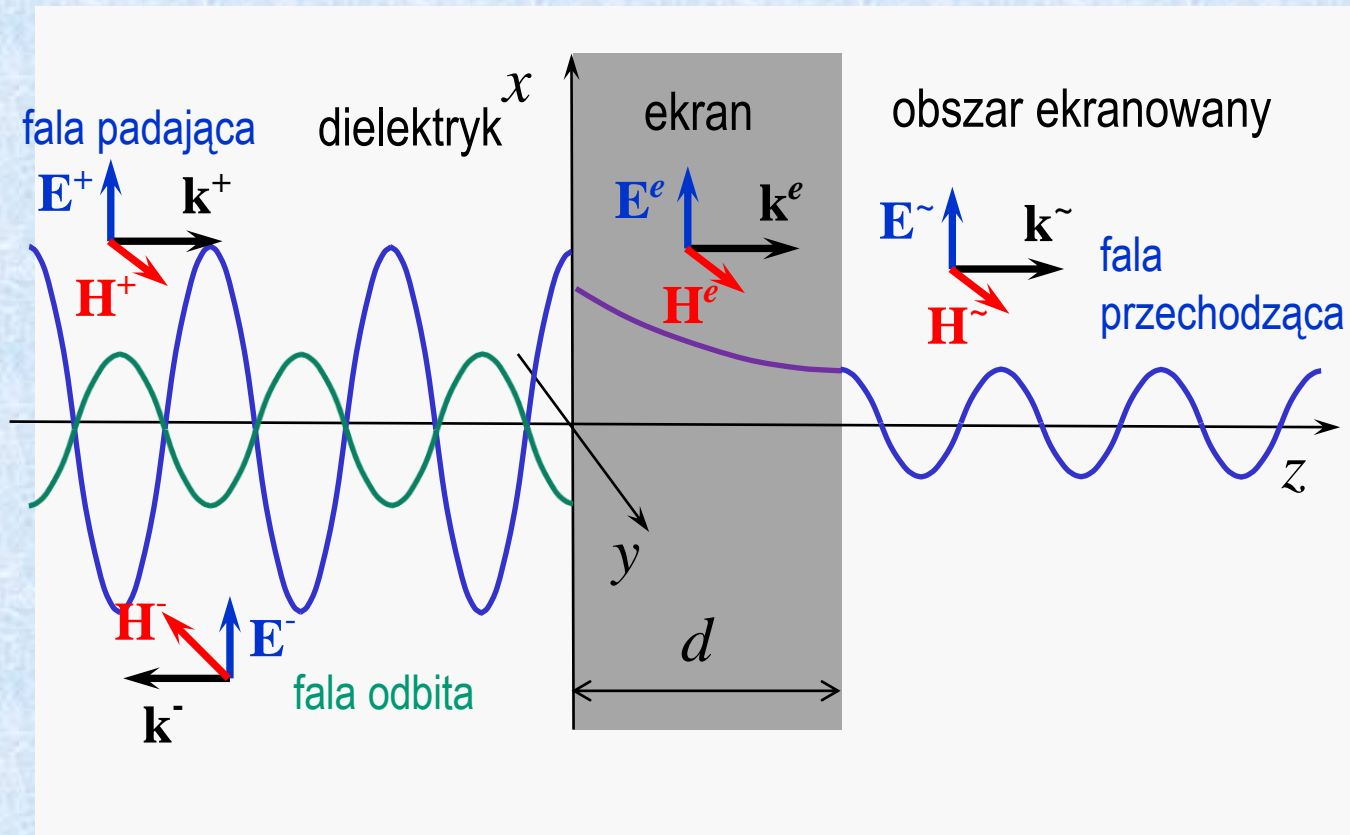
Współczynnik odbicia

$$R = \frac{Z_c - Z_d}{Z_c + Z_d}$$

5. Ekranowanie pola elektromagnetycznego

5. Ekranowanie pola elektromagnetycznego

Ekran płaski



5. Ekranowanie pola elektromagnetycznego

5. Ekranowanie pola elektromagnetycznego

Rozwiązania ogólne

dla $z < 0$

$$E_x^I(z) = E_1^+ e^{-\Gamma_1 z} + E_1^- e^{\Gamma_1 z}$$

$$H_y^I(z) = \frac{E_1^+}{Z_1} e^{-\Gamma_1 z} - \frac{E_1^-}{Z_1} e^{\Gamma_1 z}$$

dla $0 < z < d$ (ekran)

$$E_x^{II}(z) = E_2^+ e^{-\Gamma_2 z} + E_2^- e^{\Gamma_2 z}$$

$$H_y^{II}(z) = \frac{E_2^+}{Z_2} e^{-\Gamma_2 z} - \frac{E_2^-}{Z_2} e^{\Gamma_2 z}$$

dla $z > 0$

$$E_x^{III}(z) = E_3^+ e^{-\Gamma_3 z}$$

$$H_y^{III}(z) = \frac{E_3^+}{Z_3} e^{-\Gamma_3 z}$$

$$\mathbf{E} = [E_x(z), 0 \ 0] \quad \mathbf{H} = [0, H_y(z) \ 0] \quad \Gamma_k = \sqrt{j\omega\mu_k(\gamma_k + j\omega\epsilon_k)}$$

5. Ekranowanie pola elektromagnetycznego

5. Ekranowanie pola elektromagnetycznego

Warunki brzegowe

dla $z = 0$

$$E_1^+ + E_1^- = E_2^+ + E_2^-$$

$$E_2^+ - E_2^- = \frac{Z_2}{Z_1} (E_1^+ - E_1^-)$$

dla $z = d$

$$E_3^+ e^{-\Gamma_3 d} = E_2^+ e^{-\Gamma_2 d} + E_2^- e^{\Gamma_2 d}$$

$$E_3^+ e^{-\Gamma_3 d} = \frac{Z_3}{Z_2} (E_2^+ e^{-\Gamma_2 d} - E_2^- e^{\Gamma_2 d})$$

5. Ekranowanie pola elektromagnetycznego

5. Ekranowanie pola elektromagnetycznego

Warunki brzegowe
zapis macierzowy

$$\xi_k \equiv \frac{Z_{k+1}}{Z_k}$$

$$\begin{bmatrix} 1 & 1 \\ 1 & -1 \end{bmatrix} \begin{bmatrix} E_2^+ \\ E_2^- \end{bmatrix} = \begin{bmatrix} 1 & 1 \\ \xi_1 & -\xi_1 \end{bmatrix} \begin{bmatrix} E_1^+ \\ E_1^- \end{bmatrix}$$

$$\begin{bmatrix} E_3^+ \\ E_3^- \end{bmatrix} = \begin{bmatrix} e^{-(\Gamma_2+\Gamma_3)d} & e^{(\Gamma_2+\Gamma_3)d} \\ \xi_2 e^{-(\Gamma_2+\Gamma_3)d} & -\xi_2 e^{(\Gamma_2+\Gamma_3)d} \end{bmatrix} \begin{bmatrix} E_2^+ \\ E_2^- \end{bmatrix}$$



$$\begin{bmatrix} E_2^+ \\ E_2^- \end{bmatrix} = \frac{1}{2} \begin{bmatrix} 1+\xi_1 & 1-\xi_1 \\ 1-\xi_1 & 1+\xi_1 \end{bmatrix} \begin{bmatrix} E_1^+ \\ E_1^- \end{bmatrix}$$

$$\begin{bmatrix} E_3^+ \\ 0 \end{bmatrix} = \begin{bmatrix} e^{-(\Gamma_2+\Gamma_3)d} & e^{(\Gamma_2+\Gamma_3)d} \\ (1-\xi_2)e^{-(\Gamma_2+\Gamma_3)d} & (1+\xi_2)e^{(\Gamma_2+\Gamma_3)d} \end{bmatrix} \begin{bmatrix} E_2^+ \\ E_2^- \end{bmatrix}$$

5. Ekranowanie pola elektromagnetycznego

5. Ekranowanie pola elektromagnetycznego

Macierz przejścia

$$\begin{bmatrix} E_3^+ \\ 0 \end{bmatrix} = \frac{1}{2} \begin{bmatrix} e^{-(\Gamma_2 + \Gamma_3)d} & e^{(\Gamma_2 + \Gamma_3)d} \\ (1 - \xi_2)e^{-(\Gamma_2 + \Gamma_3)d} & (1 + \xi_2)e^{(\Gamma_2 + \Gamma_3)d} \end{bmatrix} \begin{bmatrix} 1 + \xi_1 & 1 - \xi_1 \\ 1 - \xi_1 & 1 + \xi_1 \end{bmatrix} \begin{bmatrix} E_1^+ \\ E_1^- \end{bmatrix}$$

stąd:

$$\begin{bmatrix} E_3^+ \\ 0 \end{bmatrix} = \begin{bmatrix} p_{11} & p_{12} \\ p_{21} & p_{22} \end{bmatrix} \begin{bmatrix} E_1^+ \\ E_1^- \end{bmatrix}$$

$$\mathbf{P} = \begin{bmatrix} p_{11} & p_{12} \\ p_{21} & p_{22} \end{bmatrix} \leftarrow \text{Macierz przejścia}$$

gdzie:

$$p_{11} = \frac{1}{2} \left[(1 + \xi_1)e^{-(\Gamma_2 + \Gamma_3)d} + (1 - \xi_1)e^{(\Gamma_2 + \Gamma_3)d} \right], \quad p_{12} = \frac{1}{2} \left[(1 - \xi_1)e^{-(\Gamma_2 + \Gamma_3)d} + (1 + \xi_1)e^{(\Gamma_2 + \Gamma_3)d} \right]$$

$$p_{21} = \frac{1}{2} \left[(1 + \xi_1)(1 - \xi_2)e^{-(\Gamma_2 + \Gamma_3)d} - (1 - \xi_1)(1 + \xi_2)e^{(\Gamma_2 + \Gamma_3)d} \right]$$

$$p_{22} = \frac{1}{2} \left[(1 - \xi_1)(1 - \xi_2)e^{-(\Gamma_2 + \Gamma_3)d} - (1 + \xi_1)(1 + \xi_2)\xi_2 e^{(\Gamma_2 + \Gamma_3)d} \right]$$

5. Ekranowanie pola elektromagnetycznego

5. Ekranowanie pola elektromagnetycznego

Rozwiązanie

Amplituda fali odbitej

$$E_1^- = -\frac{p_{12}}{p_{22}} E_1^+$$

Amplituda fali przechodzącej

$$E_3^+ = \frac{\det \mathbf{P}}{p_{22}} E_1^+$$

Współczynnik odbicia

$$R = -\frac{p_{12}}{p_{22}}$$

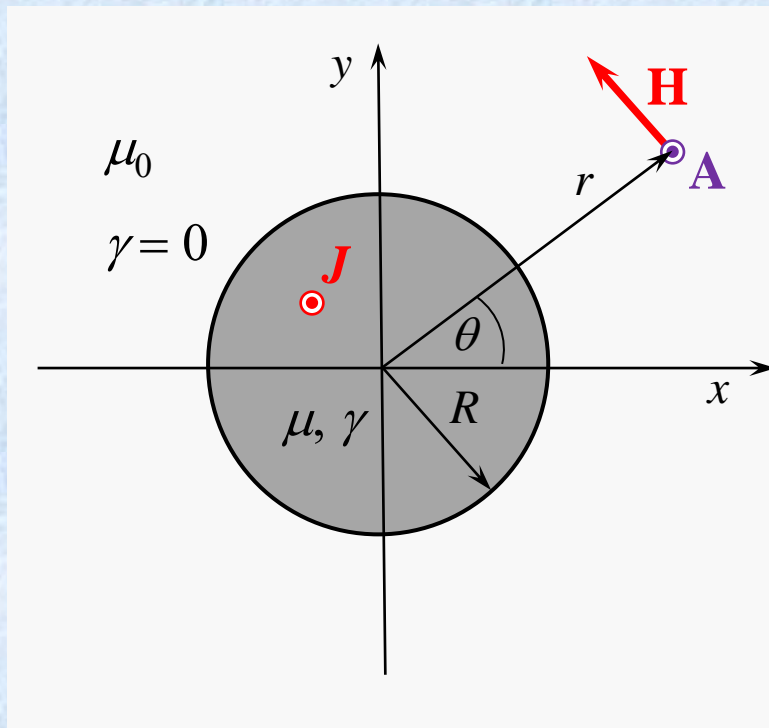
Współczynnik transmisji

$$T = \frac{\det \mathbf{P}}{p_{22}}$$

6. Pole prostoliniowego przewodu o przekroju kołowym

6. Pole quasi-stacjonarne prostoliniowego przewodu o przekroju kołowym

6.1. Sformułowanie problemu



Założenia

$$\mu, \gamma = \text{const}$$

$$\underline{i} = I e^{j\omega t}$$

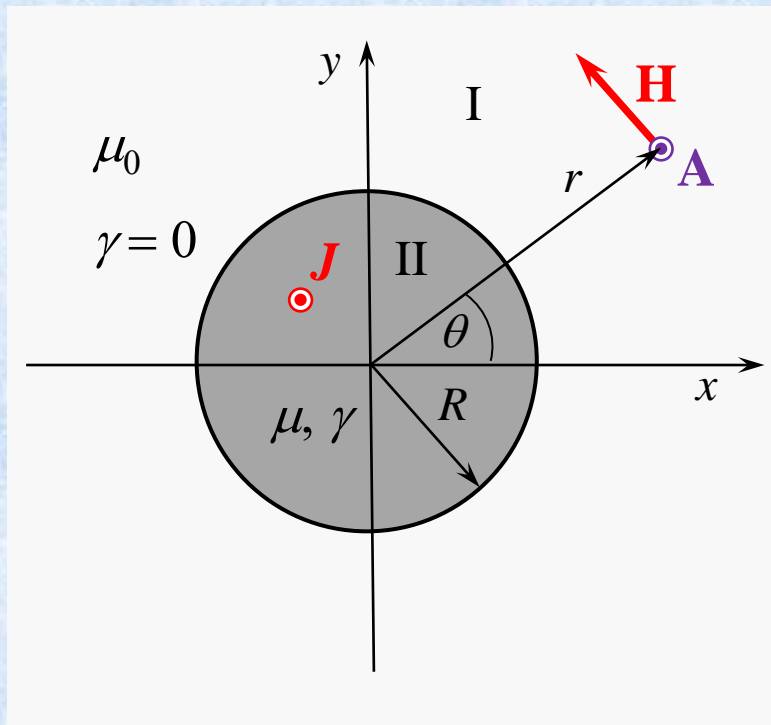
$$\mathbf{J} = [0, 0, J(r)]$$

$$\mathbf{A} = [0, 0, A(r)]$$

6. Pole prostoliniowego przewodu o przekroju kołowym

6. Pole quasi-stacjonarne prostoliniowego przewodu o przekroju kołowym

6.1. Sformułowanie problemu



Równania:

$$\Delta \mathbf{A}^I = 0, \quad r > R$$

$$\Delta \mathbf{A}^{II} = \alpha^2 \mathbf{A}^{II}, \quad r < R$$

Warunki brzegowe:

$$E_s^I(R) = E_s^{II}(R)$$

$$H_s^I(R) = H_s^{II}(R)$$

przy czym:

$$\mathbf{E} = -j\omega\mathbf{A} \quad \mathbf{H} = \frac{1}{\mu} \text{rot } \mathbf{A}$$

6. Pole prostoliniowego przewodu o przekroju kołowym

6. Pole quasi-stacjonarne prostoliniowego przewodu o przekroju kołowym

6.2. Rozwiązanie dla $r > R$

Laplasjan we współrzędnych cylindrycznych:

$$\Delta = \frac{1}{r} \frac{\partial}{\partial r} \left(r \frac{\partial}{\partial r} \right) + \frac{1}{r^2} \frac{\partial^2}{\partial \theta^2} + \frac{\partial^2}{\partial z^2}$$

$$\Delta A^I(r) = 0 \quad \Rightarrow \quad \frac{1}{r} \frac{d}{dr} \left(r \frac{dA^I}{dr} \right) = 0$$

stąd: $r \frac{dA^I}{dr} = C \Rightarrow \frac{dA^I}{dr} = \frac{C}{r}$

$$A^I = C \ln Dr$$

6. Pole prostoliniowego przewodu o przekroju kołowym

6. Pole quasi-stacjonarne prostoliniowego przewodu o przekroju kołowym

6.2. Rozwiązanie dla $r > R$

Obliczenie stałej C

Prawo Ampere'a

$$\oint_L \mathbf{H} \cdot d\mathbf{l} = I$$

$$\mathbf{H}^I = \frac{1}{\mu_0} \text{rot } \mathbf{A}^I = \frac{1}{\mu_0} \begin{vmatrix} \frac{1}{r} \hat{\mathbf{r}} & \hat{\boldsymbol{\theta}} & \frac{1}{r} \hat{\mathbf{z}} \\ \frac{\partial}{\partial r} & \frac{\partial}{\partial \theta} & \frac{\partial}{\partial z} \\ 0 & 0 & A^I(r) \end{vmatrix} = \begin{bmatrix} 0 \\ -\frac{1}{\mu_0} \frac{\partial A^I}{\partial r} \\ 0 \end{bmatrix} = \begin{bmatrix} 0 \\ -\frac{C}{\mu_0 r} \\ 0 \end{bmatrix}$$

L – okrąg o promieniu $r > R$

$$\oint_L \mathbf{H} \cdot d\mathbf{l} = \oint_L H_\theta dl = \oint_L \left(-\frac{C}{\mu_0 r} \right) dl = -\frac{C}{\mu_0 r} \oint_L dl = -\frac{C}{\mu_0 r} 2\pi r = -\frac{2\pi}{\mu_0} C$$

stąd: $C = -\frac{\mu_0 I}{2\pi}$, czyli $A^I = \frac{\mu_0 I}{2\pi} \ln \frac{1}{Dr}$

$$H_\theta^I = \frac{I}{2\pi r}$$

6. Pole prostoliniowego przewodu o przekroju kołowym

6. Pole quasi-stacjonarne prostoliniowego przewodu o przekroju kołowym

6.2. Rozwiązanie dla $r < R$

$$\Delta A^{\text{II}}(r) = \alpha^2 A^{\text{II}} \Rightarrow \frac{1}{r} \frac{d}{dr} \left(r \frac{d A^{\text{II}}}{dr} \right) = \alpha^2 A^{\text{II}} \Rightarrow$$

$$\frac{d^2 A^{\text{II}}}{dr^2} + \frac{1}{r} \frac{d A^{\text{II}}}{dr} - \alpha^2 A^{\text{II}} = 0 \quad \leftarrow \text{Zmodyfikowane równanie Bessela}$$

Rozwiązanie ogólne:

$$A^{\text{II}}(r) = F I_0(\alpha r) + G K_0(\alpha r)$$

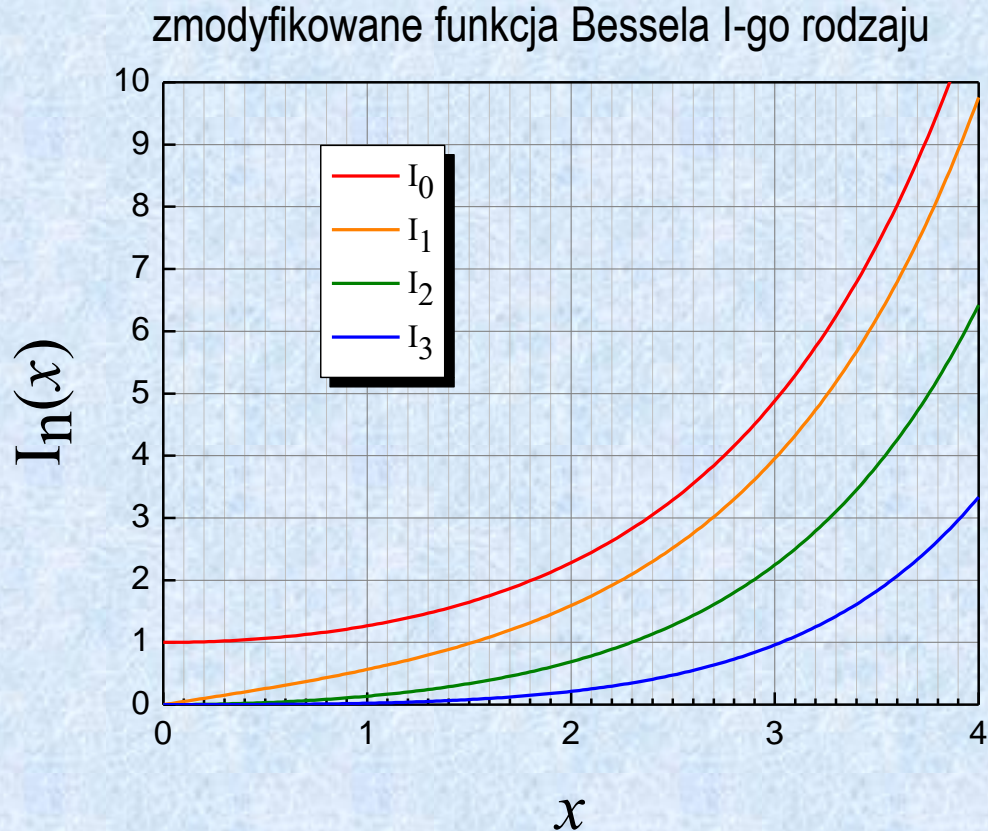
zmodyfikowana funkcja
Bessela I-go rodzaju

zmodyfikowana funkcja
Bessela II-go rodzaju
(funkcja McDonalda)

6. Pole prostoliniowego przewodu o przekroju kołowym

6. Pole quasi-stacjonarne prostoliniowego przewodu o przekroju kołowym

6.2. Rozwiązanie dla $r < R$



$$\lim_{r \rightarrow \infty} K_0(\alpha r) = \infty \Rightarrow G = 0$$

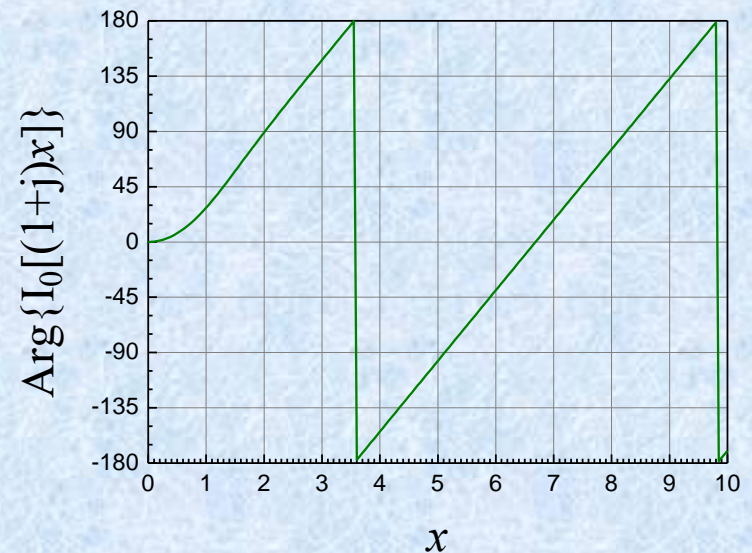
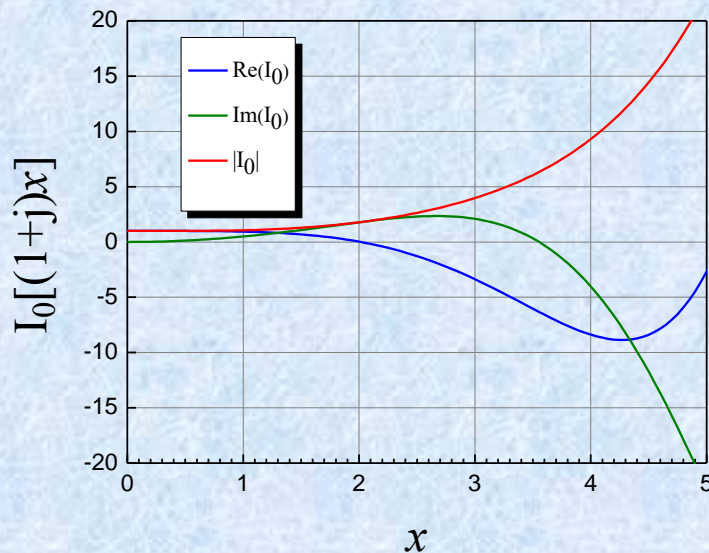
6. Pole prostoliniowego przewodu o przekroju kołowym

6. Pole quasi-stacjonarne prostoliniowego przewodu o przekroju kołowym

6.2. Rozwiązanie dla $r < R$

$$A^{\text{II}}(r) = FI_0(\alpha r) = FI_0\left(\sqrt{j\omega\gamma\mu}r\right) = FI_0\left((1+j)\sqrt{\frac{\omega\gamma\mu}{2}}r\right)$$

zmodyfikowana funkcja Bessela I-go rodzaju dla argumentu zespolonego $(1+j)x$



6. Pole prostoliniowego przewodu o przekroju kołowym

6. Pole quasi-stacjonarne prostoliniowego przewodu o przekroju kołowym

6.2. Rozwiązanie dla $r < R$

Obliczenie stałej F

Na podstawie warunku brzegowego: $H_s^I(R) = H_s^{II}(R)$

mamy:
$$\left. \frac{\partial A^{II}}{\partial r} \right|_{r=R} = \frac{\mu}{\mu_0} \left. \frac{\partial A^I}{\partial r} \right|_{r=R}$$

Stąd:
$$F \alpha I_0'(\alpha R) = \frac{\mu I}{2\pi R} \Rightarrow F = \frac{\mu I}{2\pi \alpha R I_0'(\alpha R)}$$

Zatem:
$$A^{II}(r) = \frac{\mu I}{2\pi \alpha R I_0'(\alpha R)} I_0(\alpha r)$$

6. Pole prostoliniowego przewodu o przekroju kołowym

6. Pole quasi-stacjonarne prostoliniowego przewodu o przekroju kołowym

6.2. Rozwiązanie dla $r < R$

Obliczenie stałej D

Na podstawie warunku brzegowego:

$$A^I(R) = A^{II}(R)$$

mamy:

$$\frac{\mu_0 I}{2\pi} \ln \frac{1}{DR} = \frac{\mu I}{2\pi \alpha R I'_0(\alpha R)} I_0(\alpha R) \Rightarrow D = -\frac{1}{R} \exp\left(\frac{\mu_r \Pi_0(\alpha R)}{2\pi \alpha R I'_0(\alpha R)}\right)$$

6. Pole prostoliniowego przewodu o przekroju kołowym

6. Pole quasi-stacjonarne prostoliniowego przewodu o przekroju kołowym

6.2. Rozwiązanie dla $r < R$

Pole elektryczne $\underline{\mathbf{E}}_m = -j\omega\underline{\mathbf{A}}_m \Rightarrow \underline{\mathbf{E}}_m = [0, 0, \underline{E}_m]$

$$\underline{E}_m^{\text{II}}(r) = \frac{j\omega\mu_0 \underline{I}_m \ln R}{2\pi I_0(\alpha R)} I_0(\alpha r)$$

Rozkład gęstości prądu

$$\underline{\mathbf{J}}_m = \gamma \underline{\mathbf{E}}_m$$

$$\underline{J}_m(r) = \frac{j\omega\mu_0\gamma \underline{I}_m \ln R}{2\pi I_0(\alpha R)} I_0(\alpha r)$$

Pole magnetyczne

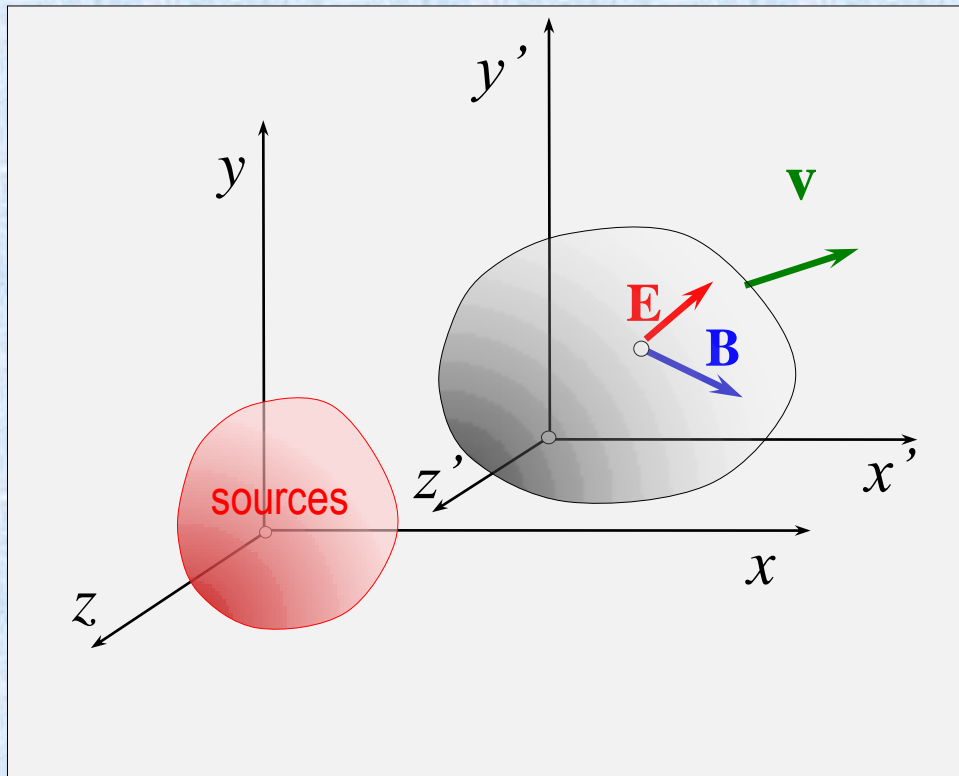
$$\underline{\mathbf{H}}_{\theta}^{\text{II}} = \frac{1}{\mu} \text{rot} \underline{\mathbf{A}}_m^{\text{II}} = \left[0, -\frac{1}{\mu} \frac{\partial \underline{A}_m^{\text{II}}}{\partial r}, 0 \right]$$

$$\underline{H}_{\theta}^{\text{II}}(r) = \frac{\mu_0 \alpha \underline{I}_m \ln R}{2\pi \mu I_0(\alpha R)} I_0'(\alpha r)$$

7. Równania elektrodynamiki w układach poruszających się

7. Równania elektrodynamiki dla ciał poruszających się

7.1. Analizowany układ



Założenie:

$$v \ll c$$

7. Równania elektrodynamiki w układach poruszających się

7. Równania elektrodynamiki dla ciał poruszających się

7.2. Pole elektryczne w układzie ruchomym

Prawo Ampera-Maxwella: $\mathbf{rot}\mathbf{H} = \mathbf{J} + \frac{\partial\mathbf{D}}{\partial t}$

$$\mathbf{D} = \mathbf{D}(x, y, z, t)$$

Ale w układzie ruchomym: $x = x(t), \quad y = y(t), \quad z = z(t)$

$$\frac{\partial\mathbf{D}}{\partial t} \rightarrow \frac{d\mathbf{D}}{dt} = \frac{\partial\mathbf{D}}{\partial x} \frac{dx}{dt} + \frac{\partial\mathbf{D}}{\partial y} \frac{dy}{dt} + \frac{\partial\mathbf{D}}{\partial z} \frac{dz}{dt} + \frac{\partial\mathbf{D}}{\partial t}$$

$$\mathbf{v} = \left[\frac{dx}{dt}, \frac{dy}{dt}, \frac{dz}{dt} \right] \quad \nabla = \left[\frac{\partial}{\partial x}, \frac{\partial}{\partial y}, \frac{\partial}{\partial z} \right]$$

zatem: $\frac{d\mathbf{D}}{dt} = (\mathbf{v} \cdot \nabla)\mathbf{D} + \frac{\partial\mathbf{D}}{\partial t}$

7. Równania elektrodynamiki w układach poruszających się

7. Równania elektrodynamiki dla ciał poruszających się

7.2. Pole elektryczne w układzie ruchomym

Z tożsamości wektorowej

$$\nabla \times (\mathbf{a} \times \mathbf{b}) = \mathbf{a}(\nabla \cdot \mathbf{b}) - \mathbf{b}(\nabla \cdot \mathbf{a}) + (\mathbf{b} \cdot \nabla)\mathbf{a} - (\mathbf{a} \cdot \nabla)\mathbf{b}$$

mamy:

$$(\mathbf{v} \cdot \nabla)\mathbf{D} = \mathbf{v}(\nabla \cdot \mathbf{D}) - \nabla \times (\mathbf{v} \times \mathbf{D}) - \mathbf{D}(\nabla \cdot \mathbf{v}) + (\mathbf{D} \cdot \nabla)\mathbf{v}$$

ale: $\nabla \cdot \mathbf{D} = \rho, \quad \nabla \cdot \mathbf{v} = 0, \quad \frac{\partial \mathbf{v}}{\partial x} = \frac{\partial \mathbf{v}}{\partial y} = \frac{\partial \mathbf{v}}{\partial z} = 0$

czyli ostatecznie:

$$\frac{d\mathbf{D}}{dt} = \frac{\partial \mathbf{D}}{\partial t} + \rho \mathbf{v} + \mathbf{rot}(\mathbf{D} \times \mathbf{v})$$

7. Równania elektrodynamiki w układach poruszających się

7. Równania elektrodynamiki dla ciał poruszających się

7.3. Pole magnetyczne w układzie ruchomym

Prawo Faradaya: $\mathbf{rot}\mathbf{E} = -\frac{\partial\mathbf{B}}{\partial t}$

$$\mathbf{B} = \mathbf{B}(x, y, z, t), \quad x = x(t), \quad y = y(t), \quad z = z(t)$$

Postępując analogicznie jak dla pola elektrycznego otrzymujemy:

$$\frac{d\mathbf{B}}{dt} = \frac{\partial\mathbf{B}}{\partial t} + \mathbf{rot}(\mathbf{B} \times \mathbf{v})$$

7. Równania elektrodynamiki w układach poruszających się

7. Równania elektrodynamiki dla ciał poruszających się

7.4. Transformacje Lorentza dla pola elektromagnetycznego

$$\begin{aligned} \mathbf{E}'_{\parallel} &= \mathbf{E}_{\parallel} & \mathbf{E}'_{\perp} &= \gamma(\mathbf{E}_{\perp} + \mathbf{v} \times \mathbf{B}) \\ \mathbf{B}'_{\parallel} &= \mathbf{B}_{\parallel} & \mathbf{B}'_{\perp} &= \gamma\left(\mathbf{B}_{\perp} - \frac{\mathbf{v} \times \mathbf{E}}{c^2}\right) \end{aligned} \quad \gamma = \frac{1}{\sqrt{1 - v^2/c^2}}$$

Dla $v \ll 1$: $\gamma \approx 1$

$$\begin{aligned} \mathbf{E}'_{\parallel} &= \mathbf{E}_{\parallel} & \mathbf{E}'_{\perp} &= \mathbf{E}_{\perp} + \mathbf{v} \times \mathbf{B} \\ \mathbf{B}'_{\parallel} &= \mathbf{B}_{\parallel} & \mathbf{B}'_{\perp} &= \mathbf{B}_{\perp} \end{aligned}$$

7. Równania elektrodynamiki w układach poruszających się

7. Równania elektrodynamiki dla ciał poruszających się

7.5. Równania Maxwella w układzie ruchomym

$$\mathbf{rot}\mathbf{H} = \gamma \mathbf{E}' + \frac{\partial \mathbf{D}}{\partial t} + \gamma \mathbf{v} \times \mathbf{B} + \rho \mathbf{v} + \mathbf{rot}(\mathbf{D} \times \mathbf{v})$$

$$\mathbf{rot}\mathbf{E}' = -\frac{\partial \mathbf{B}}{\partial t}$$

$$\mathbf{div}\mathbf{B} = 0$$

$$\mathbf{div}\mathbf{D} = \rho$$